

Реально $p_0/p_* < 0,5$, т. е.

$$\frac{Q_y}{Q_c} < 0,35e^{\frac{4\zeta_0}{\varepsilon}} + \frac{13}{6}$$

При $\zeta_0 = -\varepsilon/2$ (крайний случай нашего пресса) это дает $Q_y/Q_c < 0,4$, а при удвоенной скорости ($\zeta_0 = -\varepsilon$) $Q_y/Q_c < 0,06$.

Таким образом, даже при умеренной скорости сближения центральный узел ударного устройства миниатюрнее, чем статического.

Автор выражает благодарность Е. И. Забабахину за большое внимание к работе и ряд полезных обсуждений.

Поступила 10 XII 1976

ЛИТЕРАТУРА

1. Kawai Naoto. Production of very high pressure.— «J. Japan High Pressure Inst.», 1971, vol. 9, N 3.
2. Забабахин Е. И., Забабахин И. Е. О прессе сверхвысокого давления.— ПМТФ, 1974, № 3.
3. Верещагин Л. Ф., Шапочкин В. А. Влияние гидростатического давления на сопротивление сдвигу в твердых телах.— ФММ, 1960, т. 9, вып. 2.
4. Фадеенко Ю. И. О прессе сверхвысокого давления.— ПМТФ, 1975, № 5.

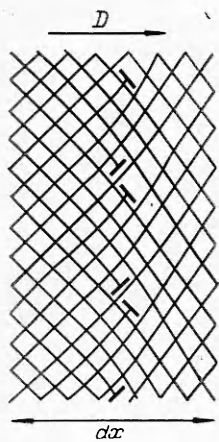
УДК 534.222.2

МЕХАНИЗМ ПЛАСТИЧЕСКОЙ РЕЛАКСАЦИИ ТВЕРДОГО ТЕЛА В УДАРНОЙ ВОЛНЕ

Ю. И. Фадеенко

(Новосибирск)

1. Модель явления. Рассматривается пластическая релаксация твердого тела за фронтом стационарной плоской ударной волны, осуществляющаяся за счет надбарьерного скольжения дислокаций. Пусть волна перемещается в направлении оси x с постоянной скоростью D . Переходим к системе координат, движущейся вместе с волной, рассмотрим состояние элементарного плоского слоя толщиной dx , неподвижного в этой системе координат. Как обычно, представим реальный дислокационный ансамбль четырьмя эффективными системами скольжения краевых дислокаций, плоскости которых совпадают с плоскостями ненулевых главных касательных напряжений (т. е. составляют углы $\pi/4$ с плоскостями, нормальными к координатным осям). Будем считать, что в любом элементарном объеме и для любой системы скольжения за единицу времени рождается одинаковое число дислокаций противоположных знаков. Однако плотности дислокаций противоположных знаков в рассматриваемом элементарном слое dx не будут равны. Действительно, пусть скорость скольжения дислокаций есть v . Тогда (по предположению о стационарности волны) элементарный слой dx пересекают за единицу времени одинаковые количества дислокаций противоположных знаков, но пересекают они его с различными скоростями: $(D + v/\sqrt{2})$ и $(D - v/\sqrt{2})$ соответственно. По-



тому в слое будет наблюдаться избыток дислокаций, движущихся по веществу в сторону фронта волны. Относительная величина этого избытка равна, очевидно, $(v/D\sqrt{2})$. Эффект от избытка дислокаций одного знака равенсилен наличию в слое dx эквивалентной стенки Смита [1], осуществляющей скачкообразную релаксацию за счет изменения главных деформаций ϵ_y и ϵ_z на величину $(b\sqrt{2}/l)$, где b — абсолютная величина вектора Бюргерса; l — расстояние между дислокациями одного семейства стенки. Структура слоя со стенкой Смита изображена на фигуре, причем плотность дислокаций в стенке для наглядности преувеличена на несколько порядков. Для понимания дальнейшего важно подчеркнуть, что только формально стенка Смита движется со скоростью D , на самом деле D — это фазовая скорость перемещения сечения, в котором плотность дислокаций в стенке имеет некоторое определенное значение, а сами избыточные дислокации движутся со скоростью v . Кроме двух семейств, изображенных на фигуре, стенка содержит еще два семейства дислокаций, параллельных плоскости фигуры, так что общее число дислокаций на единице площади стенки равно $4/l$. В области разгрузки за волной сжатия меняется знак v и направление вектора Бюргерса избыточных дислокаций, и поэтому стенки Смита меняют знак. Величина l связана с толщиной слоя dx и плотностью N эффективных дислокаций (близкой к истинной плотности подвижных дислокаций) соотношением

$$(1.1) \quad ldx = 2\sqrt{2}D/Nv.$$

Заменим теперь непрерывное изменение параметров состояния вещества в слое dx скачкообразным их изменением на эквивалентной стенке Смита. Для простоты выкладок ограничимся рассмотрением случая малых деформаций, $\epsilon_i \ll 1$, т. е. ударных волн умеренной интенсивности, в которых давление много меньше модуля объемного сжатия вещества. Обозначим параметры состояния перед стенкой величинами с индексом 0, а после стенки — без него. Примем во внимание, что $\epsilon_y = \epsilon_z$. Тогда условия сохранения массы, количества движения и энергии на скачке записутся в виде

$$(1.2) \quad \begin{aligned} \rho_0 D &= \rho(D - u), \text{ т. е.} \\ u &= D[(\epsilon_{x0} - \epsilon_x) + 2(\epsilon_{y0} - \epsilon_y)], \quad \sigma_{x0} - \sigma_x = \rho_0 u D, \\ -\sigma_x(D - u) &+ \rho_0 D \left[\frac{(D - u)^2}{2} + c_0 T \right] + \frac{D - u}{2} (\sigma_x \epsilon_x + 2\sigma_y \epsilon_y) - \\ -4\sqrt{2} \frac{\epsilon D^2}{lvN} \frac{dN}{dx} &= -\sigma_{x0} D + \rho_0 D \left(\frac{D^2}{2} + c_0 T_0 \right) + \frac{D}{2} (\sigma_{x0} \epsilon_{x0} + 2\sigma_{y0} \epsilon_{y0}). \end{aligned}$$

К ним следует добавить уравнения закона Гука для плоской волны

$$(1.3) \quad \begin{aligned} \sigma_x &= \frac{E}{1-2\nu} \left[\frac{(1-\nu)\epsilon_x + 2\nu\epsilon_y}{1+\nu} - \alpha T \right], \\ \sigma_y &= \sigma_z = \frac{E}{1-2\nu} \left[\frac{\nu\epsilon_x + \epsilon_y}{1+\nu} - \alpha T \right] \end{aligned}$$

и условие

$$(1.4) \quad \epsilon_{y0} - \epsilon_y = \epsilon_{z0} - \epsilon_z = b\sqrt{2}/l,$$

где u — скачок массовой скорости на разрыве; ρ — плотность; E — модуль Юнга; v — коэффициент Пуассона; c_0 — теплоемкость; α — коэффициент теплового расширения; T — температура, отсчитываемая от состояния $\sigma_i = \varepsilon_i = 0$; σ_i — главные напряжения; ε — энергия образования единицы длины дислокационной нити. Решение системы (1.2)–(1.4) в общем случае весьма громоздко. Однако в рассматриваемом случае малых деформаций обычно с хорошей точностью можно пренебречь тепловым расширением, положив $\alpha = 0$. В этом приближении, решая систему (1.2)–(1.4), находим

$$(1.5a) \quad \rho_0 c_0 (T - T_0) = \frac{4b\sqrt{2}}{l} \left(-\tau - \frac{\varepsilon D}{bNv} \frac{dN}{dx} \right);$$

$$(1.5b) \quad \sigma_{x0} - \sigma_x = \frac{2\sqrt{2}E}{1-2v} \frac{b}{l} \frac{2v(1-v) - (1-2v)(\rho_0 D^2/E)}{1-v-(1+v)(1-2v)(\rho_0 D^2/E)},$$

где τ — главное касательное напряжение

$$\tau = \frac{E}{2(1+v)} (\varepsilon_x - \varepsilon_y)$$

(в волне сжатия $dN/dx < 0$ и $\tau < 0$). Уравнение (1.5a) справедливо, пока плотность подвижных дислокаций в волне возрастает, если же она падает, то членом с (dN/dx) в этом уравнении следует пренебречь.

2. Закон движения дислокаций. Приращение нормального напряжения ($\sigma_{x0} - \sigma_x$) в слое dx естественно рассматривать как сумму проекций на ось x сил, приложенных к стенке Смита, т. е. к избыточным дислокациям преобладающего знака. Составляющая скорости последних в направлении оси x равна $v/\sqrt{2}$, а мощность, расходуемая внешним источником на поддержание движения дислокаций, равна $(\sigma_{x0} - \sigma_x)v/\sqrt{2}$. Поскольку все подвижные дислокации равноправны (нельзя указать точно, какие из них составляют стенку Смита), эта мощность равномерно распределяется между всеми Ndx подвижными дислокациями. Приравняв величину $(\sigma_{x0} - \sigma_x)v/\sqrt{2}$ суммарной мощности, необходимой для поддержания движения дислокаций со скоростью v , можно получить некоторую информацию о специфическом характере закона движения дислокаций в ударной волне.

Примем для дислокаций закон вязкого надбарьерного скольжения, справедливый для напряжений, намного превышающих статический предел текучести материала

$$(2.1) \quad \tau b = Bv,$$

где B — коэффициент вязкости. Сила, действующая на дислокацию, равна τb [2], а мощность, рассеиваемая движущейся дислокацией, τbv . Тогда из уравнения

$$(\sigma_{x0} - \sigma_x)v/\sqrt{2} = \tau bvNdx$$

и уравнений (1.4), (1.5b), (2.1) следует

$$(2.2) \quad B = \frac{bE}{2\sqrt{2}D(1-2v)} \frac{2v(1-v) - (1-2v)(\rho_0 D^2/E)}{1-v-(1+v)(1-2v)(\rho_0 D^2/E)}.$$

Таким образом, в рассматриваемом случае величина B принимает специфическое значение, характерное для условий движения дислокации

в стационарной ударной волне и не совпадающее с фононной вязкостью B_ϕ , проявляющейся при движении дислокации в квазистатически нагруженном кристалле. Причина этого различия в том, что дислокация, движущаяся в ударной волне, испытывает акустическое сопротивление, значительно превосходящее сопротивление вязкого трения о газ фононов.

Действительно, можно переписать (2.2) в виде

$$B = \frac{\rho b c^2}{2\sqrt{2D}} \frac{1+v}{1-v} \frac{2v(1-v)-(1-2v)(\rho_0 D^2/E)}{1-v-(1+v)(1-2v)(\rho_0 D^2/E)},$$

где c — скорость продольных звуковых волн. Обычно c и D близки по величине, и поэтому можно положить $B = m b c$, где m — безразмерный коэффициент, величина которого порядка 10^{-1} и зависит от конкретных условий задачи. Тогда из (2.1) следует

$$\tau = m v c.$$

Последнее уравнение аналогично уравнению, определяющему давление в слабой ударной волне, возбуждаемой поршнем, движущимся с постоянной скоростью $v \ll c$. Действительно, в рассматриваемой задаче дислокации действуют как поршни, каждый из которых вдвигает в кристалл со скоростью $v/\sqrt{2}$ лишнюю атомную полуплоскость стенки Смита (суммарное действие всех $D\sqrt{2}/v$ дислокаций, приходящихся на одну дислокацию стенки Смита, приводит к тому, что лишняя атомная полуплоскость вдвигается в кристалл со скоростью D).

3. Уравнения профиля волны. Подстановкой (1.1), (2.1), (2.2) в (1.5б) получаем уравнение

$$(3.1) \quad d\sigma_x/dx = -2b\sqrt{2N}\tau$$

(в волне сжатия $\tau < 0$ и сжимающее отрицательное напряжение возрастает по абсолютной величине в направлении отрицательных x , когда волна движется в направлении положительных x). Отыскав из (1.2)–(1.4) приращение ($\epsilon_{x0} - \epsilon_x$), можно получить уравнение

$$(3.2) \quad \frac{d\tau}{dx} = -\frac{1-2v}{\sqrt{2}(1+v)} \frac{1-3(1-2v)(\rho D^2/E)}{2v(1-v)-(1-2v)(\rho D^2/E)},$$

и, наконец, из (1.5а) следует

$$\rho c_0 dT/dx = -2Nb^2\tau^2/BD - 2\epsilon dN/dx.$$

Величина bN имеет смысл обратной ширины зоны пластической релаксации.

Обычно при выводе общих уравнений профиля нестационарных упругопластических волн произвольной амплитуды деформации представляются в виде сумм упругих и пластических составляющих, и для пластических деформаций принимается соотношение Орована $\dot{\epsilon}^p = (1/2)bNv$ [3,4]. При выводе (3.1), (3.2) рассматривались только упругие деформации и соотношение Орована не использовалось. Это дает возможность для косвенной оценки точности приближения, в котором получены уравнения (3.1), (3.2). Использование соотношения Орована приводит к формуле

$$D = \sqrt{E/2\rho(1+v)(1-2v)}.$$

Величина D оказывается постоянной в соответствии с характером использованного приближения (пренебрежение членами порядка ε_i) и близкой к скорости звука. Некоторое отличие D от истинной представляется несущественным, если учесть низкую точность, с которой сейчас известны величины N и v .

4. О возможности сопоставления с экспериментом. В общие уравнения профиля упругопластических волн входят две неизвестные функции N и v . В уравнениях (3.1), (3.2) функция v оказывается определенной. Уравнения (3.1), (3.2) можно рассматривать как частный случай общих уравнений для слабых стационарных волн. Действительно, при сопоставлении уравнений (3.1), (3.2) с соответствующим упрощением общих уравнений из [3] (при законе скольжения (2.1)) оказывается, что различны только значения коэффициентов при отношении (N/B) . Значение этого коэффициента в (3.1), (3.2) оказывается большим примерно во столько же раз, во сколько B больше B_Φ ; поэтому расчеты профиля слабых волн по уравнениям работы [3] с фоновой вязкостью приведут к тем же результатам, что и расчеты по (3.1), (3.2) с несколько измененным N .

Оценки величины B для стали дают значения порядка 10^{-2} П, что на многое больше B_Φ , но согласуется с оценками работ [5, 6]. Прямая экспериментальная проверка (2.2) в настоящее время вряд ли возможна, так как в этих уравнениях остается неизвестной функция N .

Проблема выбора N обсуждалась в [3, 4, 7] и ряде других работ, в настоящее время она далека от разрешения, и поэтому наиболее интересным способом использования (3.1), (3.2) представляется численная обработка экспериментальных данных с целью определения N .

Поступила 12 I 1977

ЛИТЕРАТУРА

- Smith C. S. Metallographic studies of metals after explosive shock.— «Trans. of the Metallurg. Soc. of AIME», 1958, vol. 214, p. 574.
- Фридель Ж. Дислокации. М., «Мир», 1967.
- Johnson J. N., Barker L. M. Dislocation dynamics and steady plastic wave profiles in 6061-T6 Aluminum.— «J. Appl. Phys.», 1969, vol. 40, N 11, p. 4321—4334.
- Нигматулин Р. И., Холин Н. И. К модели упругопластической среды с дислокационной кинетикой пластического деформирования — «Изв. АН СССР. МТТ», 1974, № 4, с. 131—146.
- Красовский А. Я. Затухание упругих ударных волн в железе, обусловленное вязким торможением дислокаций.— «Пробл. прочности», 1970, № 7, с. 31—35.
- Писаренко Г. С., Петушкив В. Г., Степанов Г. В., Фот Н. А. Механические свойства некоторых материалов при высокоскоростном растяжении.— «Пробл. прочности», 1970, № 7, с. 3—8.
- Фадеенко Ю. И. Об установившемся деформировании твердого тела.— ИМТФ, 1976, № 6.